

بِسْمِ اللّٰهِ الرَّحْمٰنِ الرَّحِيْمِ
اللّٰهُمَّ اكْفُنْ مَا فِي الْأَرْضِ
وَمَا فِي السَّمَاوَاتِ
وَمَا فِي الْأَنْفُسِ
وَمَا فِي الْأَرْضِ وَمَا فِي السَّمَاوَاتِ
وَمَا فِي الْأَنْفُسِ

٩٣٩٨٢



دانشگاه صنعتی مازندران
مجتمع آموزش عالی فنی و مهندسی نوشیروانی

مجتمع آموزش عالی فنی و مهندسی نوشیروانی بابل
دانشکده مهندسی مکانیک

موضوع :

بهینه سازی سیستم خشک کن شالی بستر عمودی گردشی

جهت اخذ درجه کارشناسی ارشد
مهندسی مکانیک تبدیل انرژی

اساتید راهنمای:

دکتر مفید گرجی و دکتر حسام طاهریان

نگارش:

محمد نیمافر

۱۳۸۷/۰۱/۲۳

آسفند ۸۶

۴۴۹۵۷

پاسخه تعالی



دانشگاه مازندران
معاونت آموزشی
تحصیلات تکمیلی

از زیبایی پایان نامه در جلسه دفاعیه

جمعیت امور عالی فنی هندزی هیرمند

شماره دانشجویی : ۸۴۰۱۷۵۱۶۰۵

نام و نام خانوار کی دانشجو : محمد نعیما فر

قطعه : کارشناسی ارشد (فراگیر)

رشته تحصیلی : مهندسی مکانیک تبدیل انرژی

سال تحصیلی : نیمسال دوم ۱۳۸۶-۸۷

عنوان پایان نامه :

«بهینه سازی سیستم خشک کن شالی بستر عمودی گردشی»

تاریخ رفactual : ۱۳۸۶/۱۲/۱۴

نمره پایان نامه (به عدد) : ۱۸/۸

نمره پایان نامه (به حروف) : پنجاه و هشت

هیات داوران :

استاد راهنمای : دکتر مجید گرجی

استاد راهنمای : دکتر حسام طاهریان

استاد مدعو : دکتر موسی فرهادی

استاد مدعو : دکتر کورش صدیقی

نماینده کمیته تحصیلات تکمیلی : دکتر محمد بهشتی ۱۳۸۶/۱۲/۱۴



تقدیر و تشکر

بر خود واجب می دانم از همه افرادی که در انجام این پروژه یاری و مساعدتم نموده اند تقدیر و تشکر کنم.

به خصوص از:

جناب دکتر مفید گرجی و جناب دکتر حسام طاهریان که همواره از رهنمودهای ارزشمندشان در مسائل مختلف زندگی برخوردار بوده ام و از مشاوره های موثر و مستمرشان در طول انجام پروژه بهره جسته ام.

جناب مهندس رامین نیمافر، جناب مهندس قدیر اسماعیلی، جناب مهندس عباس رامیار و آقای میثم محمدیان به خاطر همکاری و مشاوره های دلسوزانه شان در به پایان رساندن پروژه ام که از مشاوره های گرانبهای ایشان در انجام پروژه استفاده کرده ام.

تقدیم به پدر عزیزم به دلیل حمایت های بیدریغشان

و

مادر فداکارم به علت ترغیب بی پایانشان به ادامه تحصیلم

چکیده

از آنجاییکه برج غذای اصلی بیشتر مردم را در کشورهای مختلف تشکیل می دهد، از اینرو اکثر افراد سعی در افزایش این محصول دارند. بنابر تحقیقات سازمان خوار و بار جهانی سازمان ملل (FAO)، میزان ضایعات پس از برداشت بین ۷-۲۵ درصد متغیر است که ۱-۵ درصد این ضایعات مربوط به مرحله خشک کردن می باشد. بنابراین خشک کردن فرآیند بسیار مهمی در مرحله تبدیل شالی می باشد و حفظ کیفیت و کاهش ضایعات در این مرحله ضروری است. اگر در مرحله خشک کردن مشکلات فنی وجود داشته باشد و یا این فرآیند همراه با تاخیر باشد، ضایعات و خسارات محسوسی در کیفیت و کمیت شالی مشاهده می شود. دو دلیل اصلی ضایعات در شالی در حین خشک کردن، نبودن حرارت ارسالی یکنواخت در بستر خوابیده و زمان خشک کردن است. در دستگاه خشک کن شالی بستر عمودی گردشی، انتقال حرارت به طور یکنواخت به بستر ارسال می گردد و میزان ضایعات تا حد قابل قبولی کاهش می یابد. در این تحقیق دستگاه خشک کن شالی بستر عمودی گردشی طراحی و مطالعات آزمایشگاهی بر روی آن انجام شده است. در این پژوهش، منحنی رطوبت بر حسب زمان را به دست آورده و در دمایها و دبی های مختلف مورد بررسی قرار داده ایم. همچنین این آزمایش را در زمان ماندهای مختلف انجام داده و در هر آزمونی مصرف سوخت را مورد مطالعه قرار داده ایم. نتایج آزمایشگاهی نشان می دهد که در دمای 60°C درجه سانتی گراد و دبی های کمتر از دبی ماگزیمم و زمان ماند ۱۵ دقیقه مصرف سوخت بهینه می شود و میزان ضایعات کاهش می یابد. با مقایسه این خشک کن با دیگر خشک کن های شالی در می یابیم این خشک کن بازده قابل قبولی دارد و در طول فرآیند خشک کردن از کیفیت محصول نکاسته و درصد شکست شلتونک به حداقل مقدار می رسد.

فهرست مطالب

۱	فصل اول: مقدمه
۲	۱-۱- مقدمه
۲	۲-۱- کشت برنج در نقاط مختلف
۳	۳-۱- کشت برنج در ایران
۳	۴-۱- شرایط مناسب برای کشت برنج
۳	۴-۱-۱- دما
۳	۴-۱-۲- نور
۳	۴-۱-۳- رطوبت
۴	۴-۱-۴- آب
۴	۴-۱-۵- خاک
۴	۴-۱-۶- برداشت محصول
۴	۶-۱- خشک کردن
۵	۶-۱-۱- خشک کردن طبیعی
۵	۶-۱-۲- خشک کردن مصنوعی
۵	۷-۱- خشک کن های رایج در ایران
۶	۷-۱-۱- خشک کن های صندوقی
۶	۷-۱-۲- خشک کن های صندوقی کمپرسی
۷	۷-۱-۳- خشک کن های ایستاده
۸	۷-۱-۴- خشک کن با جریان مداوم
۹	۸-۱- اصول خشک کردن شالی
۹	۹-۱- انتقال حرارت
۹	۹-۱-۱- انتقال حرارت به روش هدایت
۱۰	۹-۱-۲- انتقال حرارت به روش جابجای
۱۰	۹-۱-۳- انتقال حرارت به روش تشعشع
۱۲	فصل دوم: مطالعه و بررسی خشک کن های موجود

۱۳	۱-۱- اصول خشک کردن
۱۴	۲-۲- خشک کردن شالی در سیستم های موجود
۱۵	۲-۳- انواع خشک کن های مکانیکی و مقایسه آنها
۱۵	۲-۳-۱- خشک کن ثابت بستر افقی
۱۵	۲-۳-۲- خشک کن ثابت گردش مجدد
۱۵	۲-۳-۳-۱- خشک کن ثابت دانشگاه لوئیزیانا
۱۶	۲-۳-۳-۲- خشک کن بافل
۱۶	۲-۳-۳-۳- خشک کن استوانه ای دوار
۱۸	۲-۴- نحوه انتقال حرارت بر درصد ترک
۱۸	۲-۵- تاثیر کاهش رطوبت بر درصد ترک و رطوبت بهینه
۱۹	۲-۶- بررسی میزان ترک نسبت به زمان خشک شدن
۲۰	۲-۷- بررسی و تاثیر زمان استراحت بر خشک شدن
۲۳	۲-۸- خشک کن ساخت کشور هند
۲۷	۲-۸-۱- مقایسه منحنی خشک شدن بین جریان مداوم و با زمان استراحت
۲۸	۲-۸-۲- مقایسه انتقال جرم بین جریان مداوم و با زمان استراحت
۳۰	فصل سوم: مبانی تئوری
۳۱	۳-۱- مقدمه
۳۱	۳-۲- محیط متخلخل
۳۲	۳-۳- انتقال جرم
۳۲	۳-۳-۱- قانون فیک
۳۵	۳-۳-۲- دیفیوزن پایدار از میان صفحه
۳۶	۳-۳-۳- معادله دیفیوزن جرمی
۳۷	۳-۴- تحلیل نمودار خشک شدن
۳۹	۳-۵- عدد اشمیت
۴۲	۳-۶- عدد شروود
۴۲	۳-۷- انتقال حرارت و انتقال جرم در فرآیند خشک شدن
۴۳	۳-۸- روابط انتقال حرارت و افت فشار در بستر ذرات
۴۳	۳-۹-۱- تخلخل

۴۴	- ۲-۸-۳ - قطر هیدرولیک
۴۴	- ۳-۸-۳ - سرعت تخلخل متوسط
۴۴	- ۴-۸-۳ - عدد رینولدز
۴۴	- ۵-۸-۳ - عدد ناسلت
۴۵	- ۶-۸-۳ - ضریب افت فشار
۴۷	- ۷-۸-۳ - روابط انتقال حرارت و انتقال جرم در محیط متخلخل (توده شالی)
۴۹	- ۸-۸-۳ - طریقه یافتن جرم بخار در حالت تعادل
۴۹	- ۹-۸-۳ - روش تعیین جرم بخار در حالت اشباع
۵۱	فصل چهارم: تشریح دستگاه
۵۲	- ۱-۴ - هدف از ساخت دستگاه شالی خشک کن بستر عمودی گردشی
۵۲	- ۲-۴ - اجزای دستگاه شالی خشک کن بستر عمودی گردشی
۵۲	- ۱-۲-۴ - محفظه جمع کننده شالی
۵۳	- ۲-۲-۴ - گرم کن
۵۴	- ۳-۲-۴ - بالابر
۵۵	- ۴-۲-۴ - کanal هدایت کننده هوای گرم
۵۶	- ۵-۲-۴ - تابلوی الکترونیکی
۵۶	- ۶-۲-۴ - فن
۵۶	- ۷-۲-۴ - استوانه های گردان
۵۷	- ۸-۲-۴ - شمارنده مشعل
۵۷	- ۹-۲-۴ - لوله تخلیه
۵۸	- ۱۰-۲-۴ - محفظه خشک کن
۵۸	- ۱۱-۲-۴ - دریچه تنظیم دستی دبی خروجی
۵۸	- ۱۲-۲-۴ - چرخ
۵۸	- ۳-۴ - تجهیزات مورد استفاده برای آزمایش
۵۹	- ۱-۳-۴ - رطوبت سنج
۶۲	- ۲-۳-۴ - دستگاه رطوبت سنج هوا
۶۳	- ۳-۳-۴ - بادسنج
۶۵	فصل پنجم: تحلیل نتایج

۶۶	۱-۵- پارامترهای مستقل
۶۶	۲-۵- روش کار
۶۶	۳-۵- کاهش رطوبت بر حسب زمان در دمای C^{55}
۶۹	۴-۵- کاهش رطوبت بر حسب زمان در دمای C^{60}
۷۱	۵-۵- کاهش رطوبت بر حسب زمان در دمای C^{65}
۷۳	۶-۵- کاهش رطوبت بر حسب زمان در دمای C^{70}
۷۵	۷-۵- مقایسه مدت زمان کارکرد مشعل در دماها و دبی های مختلف
۷۵	۸-۵- ۱-۷-۵- میزان کارکرد مشعل در دمای C^{55}
۷۶	۸-۵- ۲-۷-۵- میزان کارکرد مشعل در دمای C^{60}
۷۷	۸-۵- ۳-۷-۵- میزان کارکرد مشعل در دمای C^{65}
۷۸	۸-۵- ۴-۷-۵- میزان کارکرد مشعل در دمای C^{70}
۷۹	۹-۵- مقایسه میزان مصرف سوخت در دماها و دبی های مختلف
۸۲	۹-۵- مقایسه کارکرد مشعل در دماهای مختلف
۸۳	۱۰-۵- مقایسه مصرف سوخت در دماهای مختلف
۸۴	۱۱-۵- کاهش رطوبت بر حسب زمان در دمای C^{60} و زمان ماندهای مختلف
۸۶	۱۲-۵- مقایسه کاهش رطوبت بر حسب زمان در دمای C^{60} و زمان ماندهای مختلف بر اساس شبکه کلی نمودار
۸۷	۱۳-۵- مقایسه میزان کارکرد مشعل در دمای C^{60} و زمان ماندهای مختلف
۸۸	۱۴-۵- مقایسه مصرف سوخت در دمای C^{60} و زمان ماندهای مختلف
۸۸	۱۵-۵- دستگاه خشک کن شالی دومرحله ای
۸۹	۱۶-۵- نتایج دستگاه خشک کن شالی دومرحله ای
۸۹	۱۷-۵- ۱- مقایسه منحنی کاهش رطوبت بر حسب زمان در دمای C^{60} بین آزمایش ۴ و خشک کن دومرحله
۹۱	۱۷-۵- ۲- مقایسه منحنی کاهش رطوبت بر حسب زمان در دمای C^{60} بین آزمایش ۹ و خشک کن دومرحله

- ۱۶-۳- مقایسه منحنی کاهش رطوبت بر حسب زمان در
دماهی $60^{\circ}C$ بین آزمایش ۱۰ و خشک کن دومرحله ۹۳
- ۱۷-۵- مقایسه میزان مصرف انرژی ۹۵
- ۱۸-۵- مدل دینامیکی دستگاه خشک کن شالی بستر عمودی گردشی ۹۶
- ۱۸-۱- نتایج حل دینامیکی دستگاه خشک کن شالی ۹۸
- ۱۸-۶- جمع بندی نتایج و پیشنهادات فصل ششم: جمع بندی نتایج و پیشنهادات ۹۹
- ۱۰۰- جمع بندی نتایج ۱-۶
- ۱۰۱- پیشنهادات ۲-۶

فهرست علائم

مساحت جانبی ذره، m^2	A
سطح کل شالی، m^2	A_s
غلظت مولی کل	C
ضریب اصطکاک	C_f
ظرفیت حرارتی ویژه کل	C_{mt}
ظرفیت حرارتی ویژه شالی	C_{sh}
ظرفیت حرارتی ویژه آب	C_w
ضریب دیفیوژن	D_{12}
قطر هیدرولیک	d_h
قطر مشخصه شالی	dp
انتقال جرم هدایتی متوسط موضعی	g_{m1}
ضریب انتقال حرارت	h
ضریب انتقال جرم، m/s	\overline{h}_m
شار جرمی ساطع شده جسم ۱، $\frac{kg}{m^2}$	j_1
ضریب کولبرن	\overline{j}_H
پخش حرارتی	k
مشخصه طول	L
رطوبت در هر زمان در حین خشک شدن	M
جرم بخار در حالت اشباع	$m_{t,s}$
رطوبت تعداد	Me
رطوبت اولیه	Mo
نسبت رطوبت	MR
دبي مولی جسم ۱، $kmol/s$	M_1
كسر جرمی جسم ۱	m_1
جرم شالی	m_{sh}
جرم کل $(m_{sh} + m_w)$	m_t
جرم آب	m_w
نرخ تبخیر (kg/s)	n_A
عدد ناسلت	Nu

شار حرارتی	q
عدد رینولدز	Re
عدد رینولدز برای ذرات متخلخل	Re_h
عدد اشمیت	Sc
عدد شروود	Sh
عدد استانتون	St_m
دماهی متوسط	T_m
دماهی خروجی	T_{ao}
سرعت تخلخل متوسط	u_p
حجم ذره	V
حجم آب موجود در شالی	V_l
حجم ذرات جامد (حجم شالی خشک)	V_s
حجم کل	V_t

حروف یونانی

τ	تخلخل
λ	هدایت حرارتی
μ	لزجت هوا در دماهی متوسط
ν	لزجت سینماتیک
ρ	چگالی هوا در دماهی متوسط
$\rho_{A,S}$	اختلاف چگالی بخار در شالی، kg/m^3
$\rho_{A,g}$	چگالی بخار آب در هوا یا گاز ورودی، kg/m^3
ρ_s	چگالی شالی خشک
ρ_l	چگالی آب موجود در شالی
ϕ_s	رطوبت گاز در سطح لایه آب
ϕ	رطوبت گاز در بدنه اصلی جریان هوا
ψ	ضریب افت فشار
ΔT_{Lm}	اختلاف دماهی متوسط لگاریتمی

اندیس ها

هیدرولیکی	h
ورودی	i
خروجی	o

فهرست اشکال و نمودارها

فصل اول

۲	شکل ۱-۱- ساقه برنج
۳	شکل ۲-۱- خوشة گیاه برنج
۸	شکل ۳-۱- خشک کن ایستاده با تسمه های توری

فصل دوم

۱۳	نمودار ۱-۲- رابطه میان رطوبت نسبی محیط و رطوبت شلتون
۲۰	نمودار ۲-۲- بررسی میزان ترک حین خشک شدن
۲۴	شکل ۱-۲- شماتیک خشک کن ساخت کشور هند
۲۵	شکل ۲-۲- تجهیزات اندازه گیری تغییرلت دما و رطوبت
۲۷	نمودار ۳-۲- منحنی خشک شدن با زمان استراحت ۳۰ دقیقه و با جریان مداوم
۲۷	نمودار ۴-۲- منحنی خشک شدن با زمان استراحت ۶۰ دقیقه و با جریان مداوم
۲۸	نمودار ۵-۲- منحنی خشک شدن با زمان استراحت ۹۰ دقیقه و با جریان مداوم
۲۸	نمودار ۶-۲- ضریب انتقال جرم در مرحله اول، زمان استراحت و مرحله دوم
۲۹	نمودار ۷-۲- تغییرات ضریب انتقال جرم بر حسب نسبت رطوبت
۲۹	نمودار ۸-۲- ضریب انتقال جرم در مرحله دوم بر حسب نسبت رطوبت

فصل سوم

۳۳	شکل ۱-۳- شماتیک دیفیوژن یک بعدی
۳۳	نمودار ۱-۳- شماتیک دیفیوژن یک بعدی
۳۵	شکل ۲-۳- طرح کلی جریان پایدار از میان صفحه
۳۶	شکل ۳-۳- مقاومت جرمی برای جریان دیفیوژن
۳۷	شکل ۴-۳- حجم کنترل برای معادله دیفیوژن جرمی
۳۸	نمودار ۲-۳- منحنی نرخ خشک شدن در جامدات دارای خلل و فرج
۴۱	شکل ۳-۵- بستر حاوی ذرات متخلخل

فصل چهارم

۵۳	شکل ۴-۱- محفظه جمع کننده شلتون
۵۳	شکل ۴-۲- مشعل
۵۴	شکل ۴-۳- مخزن سوخت

۵۵	شکل ۴-۴- بالابر
۵۵	شکل ۵-۴- کانال هدایت کننده هوای گرم
۵۶	شکل ۶-۴- تابلوی الکترونیکی
۵۷	شکل ۷-۴- استوانه های گردان
۵۷	شکل ۸-۴- لوله تخلیه
۵۸	شکل ۹-۴- محفظه خشک کن از نمای بالا
۶۰	شکل ۱۰-۴- رطوبت سنج رسا ۳۰۰۰
۶۱	شکل ۱۱-۴- رطوبت سنج رسا ۳۰۰۳
۶۲	شکل ۱۲-۴- رطوبت سنج هوا مدل HT-۳۱۵
۶۳	شکل ۱۳-۴- دو نمونه بادسنج دیجیتالی (الف و ب)
۶۴	شکل ۱۴-۴- شکل کامل خشک کن شالی بستر عمودی گردشی

فصل پنجم

۶۷	شکل ۱-۵- منحنی کاهش رطوبت بر حسب زمان در دمای $55^{\circ}C$ و دبی 0.26 kg/s
۶۸	شکل ۲-۵- منحنی کاهش رطوبت بر حسب زمان در دمای $55^{\circ}C$ و دبی 0.64 kg/s
۶۹	شکل ۳-۵- منحنی کاهش رطوبت بر حسب زمان در دمای $60^{\circ}C$ و دبی 0.58 kg/s
۷۰	شکل ۴-۵- منحنی کاهش رطوبت بر حسب زمان در دمای $60^{\circ}C$ و دبی 0.53 kg/s
۷۱	شکل ۵-۵- منحنی کاهش رطوبت بر حسب زمان در دمای $65^{\circ}C$ و دبی 0.78 kg/s
۷۲	شکل ۶-۵- منحنی کاهش رطوبت بر حسب زمان در دمای $65^{\circ}C$ و دبی 0.24 kg/s
۷۳	شکل ۷-۵- منحنی کاهش رطوبت بر حسب زمان در دمای $70^{\circ}C$ و دبی 0.87 kg/s
۷۴	شکل ۸-۵- منحنی کاهش رطوبت بر حسب زمان در دمای $70^{\circ}C$ و دبی 0.22 kg/s
۷۵	شکل ۹-۵- مدت زمان کارکرد مشعل در دمای $55^{\circ}C$
۷۶	شکل ۱۰-۵- مدت زمان کارکرد مشعل در دمای $60^{\circ}C$
۷۷	شکل ۱۱-۵- مدت زمان کارکرد مشعل در دمای $65^{\circ}C$
۷۸	شکل ۱۲-۵- مدت زمان کارکرد مشعل در دمای $70^{\circ}C$
۷۹	شکل ۱۳-۵- مصرف سوخت در دمای $55^{\circ}C$
۸۰	شکل ۱۴-۵- مصرف سوخت در دمای $60^{\circ}C$
۸۰	شکل ۱۵-۵- مصرف سوخت در دمای $65^{\circ}C$
۸۱	شکل ۱۶-۵- مصرف سوخت در دمای $70^{\circ}C$
۸۲	شکل ۱۷-۵- مدت زمان کارکرد مشعل در دماهای مختلف و دریچه نیمه باز
۸۳	شکل ۱۸-۵- مصرف سوخت در دماهای مختلف و دریچه نیمه باز
۸۴	شکل ۱۹-۵- منحنی کاهش رطوبت بر حسب زمان در دمای $60^{\circ}C$ و زمان ماند ۱۰ دقیقه

- شکل ۵-۲۰- منحنی کاهش رطوبت بر حسب زمان در دمای 60°C و زمان ماند ۱۵ دقیقه
 شکل ۵-۲۱- منحنی کاهش رطوبت بر حسب زمان در دمای 60°C و زمان ماند ۵ دقیقه
 شکل ۵-۲۲- مقایسه شبکه کلی نمودار در دمای 60°C و زمان ماندهای مختلف
 شکل ۵-۲۳- مقایسه کارکرد مشعل در دمای 60°C و زمان ماندهای مختلف
 شکل ۵-۲۴- مقایسه مصرف سوخت در دمای 60°C و زمان ماندهای مختلف
 شکل ۵-۲۵- مقایسه منحنی کاهش رطوبت بر حسب زمان در دمای 60°C با مرجع [۱۴]
 شکل ۵-۲۶- مقایسه منحنی کاهش رطوبت بر حسب زمان در دمای 60°C با مرجع [۱۴]
 شکل ۵-۲۷- مقایسه منحنی کاهش رطوبت بر حسب زمان در دمای 60°C با مرجع [۱۴]
 شکل ۵-۲۸- مقایسه منحنی کاهش رطوبت بر حسب زمان در دمای 60°C با مرجع [۱۴]
 شکل ۵-۲۹- مقایسه منحنی کاهش رطوبت بر حسب زمان در دمای 60°C با مرجع [۱۴]
 شکل ۵-۳۰- مقایسه منحنی کاهش رطوبت بر حسب زمان در دمای 60°C با مرجع [۱۴]
 شکل ۵-۳۱- مقایسه منحنی کاهش رطوبت بر حسب زمان در دمای 60°C با مرجع [۱۴]
 شکل ۵-۳۲- مقایسه منحنی کاهش رطوبت بر حسب زمان در دمای 60°C با مرجع [۱۴]
 شکل ۵-۳۳- مقایسه منحنی کاهش رطوبت بر حسب زمان در دمای 60°C با مرجع [۱۴]
 شکل ۵-۳۴- مقایسه میزان مصرف انرژی در خشک کن دو مرحله
 شکل ۵-۳۵- مقایسه مصرف انرژی در خشک کن شالی بستر عمودی گردشی با مرجع [۱۴]
 شکل ۵-۳۶- مدل سیمیولینک دستگاه خشک کن شالی بستر عمودی گردشی
 شکل ۵-۳۷- مقایسه منحنی خشک شدن در حالت تجربی و شبیه سازی

فهرست جداول

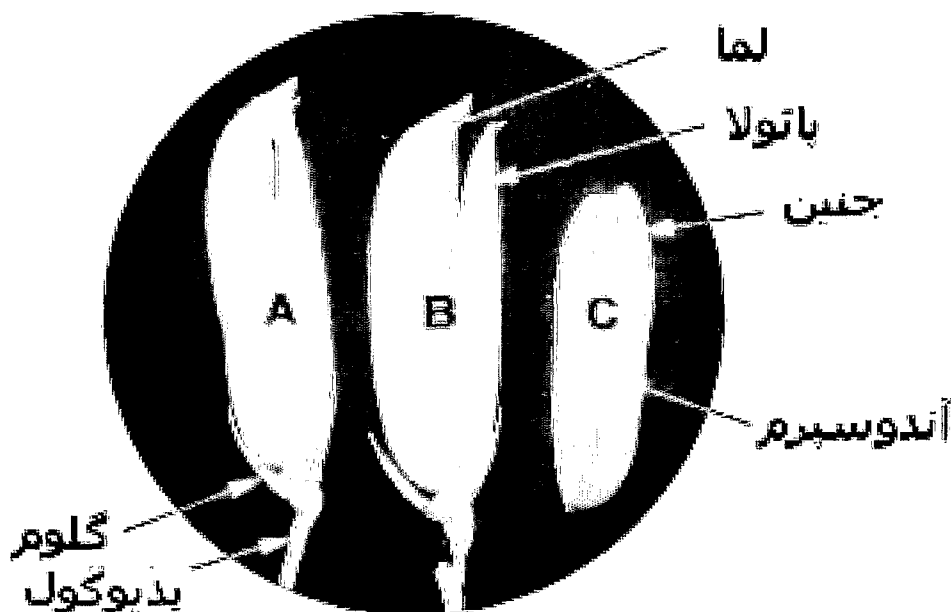
۱۷	جدول ۱-۲- مزایا و معایب انواع خشک کن های شالی
۱۹	جدول ۲-۲- بررسی میزان ترک حین خشک شدن به روش ارسال هوای گرم
۲۶	جدول ۲-۳- داده های خشک کن دو مرحله ای با زمان استراحت
۲۶	جدول ۲-۴- داده های خشک کن دو مرحله ای با جریان مداوم
۳۴	جدول ۳-۱- ضریب دیفیوژن برخی از گازها، مایعات و جامدات
۴۰	جدول ۳-۲- عدد اشمیت برخی از محلول ها و ترکیبات
۴۰	جدول ۳-۳- خصوصیات چند نوع گاز
۴۱	جدول ۳-۴- خصوصیات چند نوع محلول

فصل اول

مقدمه

۱-۱- مقدمه

برنج (با نام علمی *Oryza Sativa*) یکی از مهمترین غلات و از گیاهان علفی مهم در قاره آسیاست. برنج از خانواده گرامینه‌ها (گندمیان) بوده، دارای انواع یک ساله و چند ساله می‌باشد.



شکل(۱-۱): ساقه برنج [۱۲]

دانه برنج و فرآورده‌های به دست آمده از آن تقریباً ۴۰ درصد غذای مورد نیاز نصف مردم دنیا را تشکیل می‌دهد. میوه برنج دارای غلافی سفید رنگ، قهوه‌ای، کهربایی، قرمز یا بنفش است که این میوه را به همراه غلاف آن شلتوق می‌نامند. برای قابل استفاده شدن برنج برای انسان باید شلتوق را پوست کنند، یعنی غلاف را از دانه جدا نمایند.

۱-۲- کشت برنج در نقاط مختلف

شواهد نشان می‌دهد که تقریباً ۴۰۰۰ سال قبل از میلاد در کشورهای هند و چین کشت برنج متداول بوده است. پس از گندم برنج دومین غله مهم در دنیا به حساب می‌آید. نزدیک به ۹۰ درصد سطح زیر کشت و تولید برنج متعلق به کشورهای خاور دور می‌باشد. بیش از نصف محصول برنج هم در دو کشور هند و چین تولید می‌شود. به طور کلی کشورهای گرمسیری و نیمه گرمسیری برمی‌تابند، لائوس، آندونزی، فیلیپین، پاکستان، هند، امریکا، ژاپن، ایتالیا، مصر، برزیل، کوبا، مکزیک و استرالیا از تولید کنندگان برنج به شمار می‌آیند.